

### M.67 Doppelpendel (F2020.M.1)

(a) Mit den Koordinaten und Geschwindigkeiten,

$$\begin{aligned}x_1 &= \ell \sin \phi_1, & \dot{x}_1 &= \ell \dot{\phi}_1 \cos \phi_1, \\y_1 &= \ell \cos \phi_1, & \dot{y}_1 &= -\ell \dot{\phi}_1 \sin \phi_1, \\x_2 &= x_1 + \ell \sin \phi_2, & \dot{x}_2 &= \ell \dot{\phi}_1 \cos \phi_1 + \ell \dot{\phi}_2 \cos \phi_2, \\y_2 &= y_1 + \ell \cos \phi_2, & \dot{y}_2 &= -\ell \dot{\phi}_1 \sin \phi_1 - \ell \dot{\phi}_2 \sin \phi_2,\end{aligned}$$

erhalten wir die Lagrangefunktion ( $y$ -Koordinate nach "unten"!) )

$$\begin{aligned}L &= \frac{m}{2} (\dot{x}_1^2 + \dot{y}_1^2 + \dot{x}_2^2 + \dot{y}_2^2) + mg(y_1 + y_2) \\&= \frac{m\ell^2}{2} (2\dot{\phi}_1^2 + \dot{\phi}_2^2 + 2\dot{\phi}_1\dot{\phi}_2 \cos(\phi_1 - \phi_2)) + mg\ell(2 \cos \phi_1 + \cos \phi_2),\end{aligned}$$

wobei wir  $\cos \phi_1 \cos \phi_2 + \sin \phi_1 \sin \phi_2 = \cos(\phi_1 - \phi_2)$  benutzt haben.

(b) Mit  $\cos x = 1 - \frac{1}{2}x^2 + O(x^4)$  ergibt sich für kleine Winkel

$$L = \frac{m\ell^2}{2} (2\dot{\phi}_1^2 + \dot{\phi}_2^2 + 2\dot{\phi}_1\dot{\phi}_2 - \dot{\phi}_1\dot{\phi}_2(\phi_1 - \phi_2)^2) + \frac{mg\ell}{2} (6 - 2\phi_1^2 - \phi_2^2).$$

Da von vierter Ordnung, wird der Term  $-\dot{\phi}_1\dot{\phi}_2(\phi_1 - \phi_2)^2$  vernachlässigt.

(c) Für kleine Winkel lauten die Bewegungsgleichungen  $\frac{d}{dt} \frac{\partial L}{\partial \dot{\phi}_n} = \frac{\partial L}{\partial \phi_n}$  also

$$\begin{aligned}2\ddot{\phi}_1 + \ddot{\phi}_2 &= -2 \frac{g}{\ell} \phi_1, \\ \ddot{\phi}_1 + \ddot{\phi}_2 &= -\frac{g}{\ell} \phi_2.\end{aligned}$$

(d) Bei einer Eigenschwingung des Doppelpendels schwingen beide Massen jeweils mit der gleichen Frequenz  $\omega$ . Anschaulich ist klar, daß es dafür (mindestens) zwei Möglichkeiten gibt: (1) Eine gleichphasige Schwingung, bei der das Doppelpendel wie ein starres, gestrecktes Einfachpendel schwingt. (2) Eine gegenphasige Schwingung mit höherer Frequenz  $\omega_2 > \omega_1$ . Da die Bewegungsgleichungen linear sind, ist jede Superposition dieser beiden Eigenschwingungen wieder eine Lösung.

(e) Der Ansatz  $\phi_1(t) = e^{i\omega t}$ ,  $\phi_2(t) = Ae^{i\omega t}$  liefert das Gleichungssystem (mit  $\omega_0 = \sqrt{\frac{g}{\ell}}$ )

$$\begin{aligned}-\omega^2(2 + A) &= -2\omega_0^2, \\ -\omega^2(1 + A) &= -\omega_0^2 A.\end{aligned}$$

Elimination von  $\omega^2$  liefert  $\frac{2}{2+A} = \frac{A}{1+A}$ , mit den Lösungen  $A_{1,2} = \mp\sqrt{2}$ , also

$$\omega_{1,2}^2 = \frac{2}{2 + A_{1,2}} \omega_0^2 = \frac{2}{2 \mp \sqrt{2}} \omega_0^2 \equiv (2 \pm \sqrt{2}) \omega_0^2.$$

**Systematischer Weg:** In Matrixform lauten die beiden DGLen aus Teil (c)

$$\ddot{\phi} = -M\phi, \quad M = \begin{pmatrix} 2 & -1 \\ -2 & 2 \end{pmatrix} \omega_0^2, \quad \phi = \begin{pmatrix} \phi_1 \\ \phi_2 \end{pmatrix}.$$

Der Ansatz  $\phi(t) = Be^{i\omega t} \equiv \begin{pmatrix} B_1 \\ B_2 \end{pmatrix} e^{i\omega t}$  liefert die Eigenwertgleichung  $(M - \omega^2 I)B = 0$ ,

$$\det(M - \omega^2 I) \equiv \det \begin{pmatrix} 2 - \omega^2 & -1 \\ -2 & 2 - \omega^2 \end{pmatrix} = 0 \quad \Rightarrow \quad \omega_{1,2}^2 = (2 \pm \sqrt{2}) \omega_0^2.$$

## M.68 Fallender Stab (F2020.M.2)

- (a) In der Lagrangefunktion  $L = T - V$ ,

$$L(\phi, \dot{\phi}) = \frac{\Theta}{2} \dot{\phi}^2 - \frac{mg\ell}{2} \sin \phi,$$

ist  $V(\phi) = \frac{mg\ell}{2} \sin \phi$  die potentielle Energie des Schwerpunkts ( $X|Z$ ) =  $(\frac{\ell}{2} \cos \phi | \frac{\ell}{2} \sin \phi)$ .  
Die resultierende Bewegungsgleichung lautet

$$\ddot{\phi} = -\frac{mg\ell}{2\Theta} \cos \phi. \quad (1)$$

- (b) Aus der Energieerhaltung

$$E \equiv \frac{\Theta}{2} \dot{\phi}^2 + \frac{mg\ell}{2} \sin \phi = \frac{mg\ell}{2} \sin \phi_0$$

( $\phi_0$  ist die Ausgangslage mit  $\dot{\phi} = 0$ ) gewinnen wir die Beziehung

$$\dot{\phi}^2 = \frac{mg\ell}{\Theta} (\sin \phi_0 - \sin \phi). \quad (2)$$

- (c) Für die Vertikalbeschleunigung  $\ddot{z}$  des oberen Stabendes  $z = \ell \sin \phi$  gilt

$$\ddot{z} = \frac{d^2}{dt^2} \ell \sin \phi = \ell (\ddot{\phi} \cos \phi - \dot{\phi}^2 \sin \phi).$$

Mit Gln. (1) für  $\ddot{\phi}$  und (2) für  $\dot{\phi}^2$  ergibt sich

$$\ddot{z} = \ell \left[ -\frac{mg\ell}{2\Theta} \cos^2 \phi - \frac{mg\ell}{\Theta} (\sin \phi_0 - \sin \phi) \sin \phi \right].$$

Mit  $\cos^2 \phi = 1 - \sin^2 \phi$  und  $\Theta = \frac{m\ell^2}{\alpha}$  (wobei hier  $\alpha = 3$ ) ergibt sich

$$\ddot{z} = -g \left[ \alpha \left( -\frac{3}{2} s^2 + s_0 s + \frac{1}{2} \right) \right] = -g \frac{\alpha}{3} N(\sin \phi, \sin \phi_0).$$

**Beachte:** Der Wert von  $\frac{1}{\alpha} = \frac{\Theta}{m\ell^2}$  hat also keinen Einfluß auf die folgende Diskussion, solange der Schwerpunkt ( $X|Z$ ) des Stabs in seiner Mitte liegt,  $V(\phi) = \frac{mg\ell}{2} \sin \phi$ . Wäre etwa seine Masse im Schwerpunkt konzentriert, so hätten wir  $\alpha = 4$ .

- (d) Die Scheitelpunktform  $N(s, s_0) = -\frac{9}{2} (s - \frac{s_0}{3})^2 + \frac{s_0^2 + 3}{2}$  zeigt: Der Graph der Funktion  $f(s) = N(s, s_0)$  ist eine nach unten geöffnete Parabel mit Maximum bei  $s = \frac{s_0}{3}$ .

$$N_{\text{end}} = f(0) = \frac{3}{2}, \quad N_{\text{max}} = f\left(\frac{s_0}{3}\right) = \frac{3}{2} + \frac{s_0^2}{2}, \quad N_{\text{anf}} = f(s_0) = \frac{3}{2} - \frac{3s_0^2}{2}.$$

- (e) Der Betrag  $|\ddot{z}| = gN(s, s_0)$  nimmt anfangs (bei  $s = s_0$ ) zu, erreicht bei  $s = \frac{s_0}{3}$  sein Maximum  $gN_{\text{max}}$ , nimmt dann zwar wieder ab, bleibt aber bis zum Schluß (bei  $s = 0$ :  $|\ddot{z}| = \frac{3}{2}g$ ) größer als  $g$ . Damit also der Stab stets der Kugel voraus ist, muß seine Vertikalbeschleunigung **von Anfang an** größer als  $g$  sein,

$$N(s_0, s_0) > 1 \quad \Leftrightarrow \quad s_0 < \frac{1}{\sqrt{3}} \quad \Leftrightarrow \quad \phi_0 < 35.26^\circ. \quad (3)$$

Für Beschleunigungen über  $g$  sind hier die Zwangskräfte verantwortlich, die den Stab zusammenhalten.

### E.67 Magnetfeld eines zylindrischen Stromträgers (F2020.E.1)

**Hinweis:** Die Textzeile 6 ist vermutlich zu ergänzen wie folgt: "... und kann durch die Volumenstromdichte  $\mathbf{J}(\varrho, \vartheta, z) = \mathbf{K}(\vartheta, z) \cdot \delta(\varrho - a)$  ausgedrückt werden." (?)

<b>Abweichende Notation:</b>	in der Aufgabenstellung	hier
Zylinderkoordinaten:	$(\varrho, \vartheta, z)$	$(\rho, \phi, z)$
elektrostatisches Potential:	$\phi$	$\Phi$

- (a) Eine solche Radialkomponente  $B_\rho(\rho, \phi, z)$  müsste aus Symmetriegründen an jedem Punkt auf einer gedachten Zylinderfläche um die  $z$ -Achse den gleichen Wert haben,  $B_\rho(\rho, \phi, z) = B_\rho(\rho)$ . Im Fall  $B_\rho(\rho) \neq 0$  hätte man einen  $\mathbf{B}$ -Fluß aus dieser Fläche heraus (oder in sie hinein), im Widerspruch zur Quelfreiheit ( $\nabla \cdot \mathbf{B} = 0$ ) von  $\mathbf{B}$ .

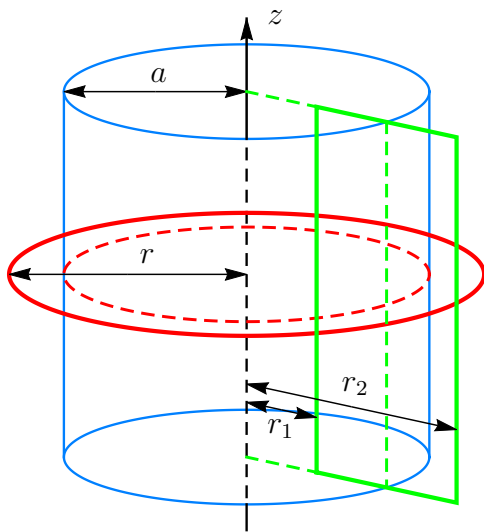
Damit muß das  $\mathbf{B}$ -Feld in Zylinderkoordinaten folgende Form haben,

$$\mathbf{B}(\mathbf{r}) = B_\phi(\rho, \phi, z) \mathbf{e}_\phi + B_z(\rho, \phi, z) \mathbf{e}_z.$$

Die Komponenten  $B_\phi$  und  $B_z$  können wegen der Zylindersymmetrie weder von  $\phi$  noch von  $z$  abhängen, müssen also reine Funktionen der Radialkoordinate  $\rho$  sein,

$$\mathbf{B}(\mathbf{r}) = B_\phi(\rho) \mathbf{e}_\phi + B_z(\rho) \mathbf{e}_z. \quad (4)$$

Daher betrachten wir eine Kreisscheibe  $\Sigma$  (Radius  $\rho = r$ ) senkrecht zur  $z$ -Achse und zentriert auf dieser, sowie ein Rechteck  $R$  (Höhe  $h$ ) in einer durch die  $z$ -Achse begrenzten Halbebene und mit Seiten in  $z$ -Richtung, bei  $\rho = r_1 < a$  und  $\rho = r_2 > a$  (Skizze).



**Skizze:**

**Blau:** Ausschnitt aus dem unendlich langen zylindrischen Stromträger (mit Radius  $a$ ).

**Rot (durchgezogen):** Der Rand  $\partial\Sigma$  einer möglichen Kreisscheibe  $\Sigma$  (hier mit Radius  $r > a$ ).

**Grün (durchgezogen):** Der Rand  $\partial R$  eines möglichen Rechtecks  $R$ .

Für diese Flächenstücke lautet das Amperesche Gesetz  $\nabla \times \mathbf{B} = \mu_0 \mathbf{J}$  in Integralform

$$\oint_{\partial\Sigma} d\mathbf{r} \cdot \mathbf{B}(\mathbf{r}) = \mu_0 \int_{\Sigma} d\mathbf{S} \cdot \mathbf{J}(\mathbf{r}) \equiv \mu_0 I_{\Sigma},$$

$$\oint_{\partial R} d\mathbf{r} \cdot \mathbf{B}(\mathbf{r}) = \mu_0 \int_R d\mathbf{S} \cdot \mathbf{J}(\mathbf{r}) \equiv \mu_0 I_R.$$

**Linke Seiten (LS):** Mit Gl. (4) für  $\mathbf{B}(\mathbf{r})$  haben die Linienintegrale die Werte

$$\oint_{\partial\Sigma} d\mathbf{r} \cdot \mathbf{B}(\mathbf{r}) = 2\pi r \cdot B_\phi(r),$$

$$\oint_{\partial R} d\mathbf{r} \cdot \mathbf{B}(\mathbf{r}) = h \cdot [B_z(r_1) - B_z(r_2)] \quad (r_1 < a, \quad r_2 > a).$$

**Rechte Seiten (RS):** Bei der gegebenen Stromdichte,

$$\begin{aligned}\mathbf{J}(\mathbf{r}) &= \mathbf{K}(\mathbf{r}) \cdot \delta(\rho - a) \\ &= K_0 \cdot (\mathbf{e}_z \cos \alpha + \mathbf{e}_\phi \sin \alpha) \cdot \delta(\rho - a),\end{aligned}$$

tragen zu den Strömen  $I_\Sigma$  (durch  $\Sigma$ ) und  $I_R$  (durch  $R$ ) nur die  $\mathbf{e}_z$ - bzw. die  $\mathbf{e}_\phi$ -Komponente von  $\mathbf{J}(\mathbf{r})$  bei,

$$\begin{aligned}I_\Sigma &= \begin{cases} 0 & (r < a) \\ 2\pi a \cdot K_0 \cos \alpha & (r > a) \end{cases}, \\ I_R &= h \cdot K_0 \sin \alpha.\end{aligned}$$

Zusammengefaßt erhalten wir somit für  $B_\phi(\rho)$  und  $B_z(\rho)$  die Bedingungen

$$2\pi\rho \cdot B_\phi(\rho) = \mu_0 \cdot \begin{cases} 0 & (\rho < a) \\ 2\pi a \cdot K_0 \cos \alpha & (\rho > a) \end{cases}, \quad (5)$$

$$h \cdot [B_z(r_1) - B_z(r_2)] = \mu_0 \cdot h \cdot K_0 \sin \alpha \quad (r_1 < a, \quad r_2 > a). \quad (6)$$

Außerdem muß im Unendlichen gelten (dies ist sogar explizit angegeben !)

$$B_\phi(\rho), B_z(\rho) \rightarrow 0 \quad (\rho \rightarrow \infty). \quad (7)$$

(b) **Innerhalb des Zylinders** ( $\rho < a$ ) gilt also wegen Gln. (5) und (6)

$$\begin{aligned}B_\phi(\rho) &= 0, \\ B_z(\rho) - B_z(r_2) &= \mu_0 K_0 \sin \alpha \quad (r_2 > a).\end{aligned}$$

Da die zweite Gleichung für beliebige  $r_2 > a$  gilt, so folgt wegen Gl. (7)

$$B_z(\rho) = \begin{cases} \mu_0 K_0 \sin \alpha & (\rho < a), \\ 0 & (\rho > a).\end{cases}$$

(c) **Außerhalb des Zylinders** ( $\rho > a$ ) gilt somit

$$\begin{aligned}B_\phi(\rho) &= \frac{a}{\rho} \cdot \mu_0 K_0 \cos \alpha, \\ B_z(\rho) &= 0.\end{aligned}$$

(d) Sollte bei endlicher Leitfähigkeit  $\sigma$  (also bei endlichem Widerstand) eine konstante Stromkomponente in  $\phi$ -Richtung ("um den Zylindermantel herum",  $\sin \alpha \neq 0$ ) fließen, so müsste es ein  $\mathbf{E}$ -Feld ( $\mathbf{E} = \sigma \mathbf{J}$ ) geben, das in geschlossenen Kreisen tangential um diesen Mantel herumweist. Genau wie bei der Faradayschen Induktion läßt sich ein solches  $\mathbf{E}$ -Feld nicht als Gradient eines Potentials  $\Phi(\mathbf{r})$  darstellen.

## E.68 Inhomogener Kugelkondensator (F2020.E.2)

- (a) Die erste Maxwell-Gleichung  $\nabla \cdot \mathbf{D}(\mathbf{r}) = \rho(\mathbf{r})$  lautet in Integralform

$$\oint_{\partial\Omega} d\mathbf{S} \cdot \mathbf{D}(\mathbf{r}) = \int_{\Omega} d^3r \rho(\mathbf{r}) \equiv Q_{\Omega}, \quad (8)$$

wobei  $\Omega$  ein beliebiges Raumgebiet (mit Oberfläche  $\partial\Omega$ ), und  $Q_{\Omega}$  die in  $\Omega$  enthaltene freie<sup>1</sup> Ladung ist. Bei der vorhandenen Kugelsymmetrie gilt (in Kugelkoordinaten)

$$\mathbf{D}(\mathbf{r}) = D(r)\mathbf{e}_r.$$

Wählen wir also für  $\Omega$  eine Kugel mit Radius  $r$  um den Ursprung, so folgt

$$4\pi r^2 D(r) = \begin{cases} 0 & (r < a) \\ Q & (a < r < b) \end{cases} \Rightarrow D(r) = \begin{cases} 0 & (r < a), \\ \frac{Q}{4\pi r^2} & (a < r < b). \end{cases}$$

Um  $D(r)$  auch für  $r > b$  zu bestimmen, müssten wir die Ladung  $Q'$  auf der äußeren Schale (mit  $r = b$ ) kennen, doch dies ist für das Folgende nicht nötig.

- (b) Nach der allgemeinen Beziehung  $\mathbf{D} = \epsilon_0 \mathbf{E}$ , hier also  $\mathbf{D}(\mathbf{r}) = \epsilon(\mathbf{r}) \epsilon_0 \mathbf{E}(\mathbf{r})$ , gilt mit  $\mathbf{E}(\mathbf{r}) = E(r)\mathbf{e}_r$

$$E(r) \equiv \frac{1}{\epsilon_0} \frac{D(r)}{\epsilon(r)} = \frac{Q}{4\pi\epsilon_0} \frac{1 - Kr}{r^2} \quad (a < r < b).$$

Damit ergibt sich die Spannung zwischen den beiden Kugelschalen zu

$$U = \int_a^b dr E(r) = \frac{Q}{4\pi\epsilon_0} \left[ \left( \frac{1}{a} - \frac{1}{b} \right) - K \ln \frac{b}{a} \right],$$

und die Kapazität dieses inhomogenen Kugelkondensators ist

$$C \equiv \frac{Q}{U} = \frac{4\pi\epsilon_0}{\left( \frac{1}{a} - \frac{1}{b} \right) - K \ln \frac{b}{a}} \quad \left[ \rightarrow 4\pi\epsilon_0 \frac{ab}{b-a} \quad (K \rightarrow 0) \right].$$

- (c) Die allgemeine Beziehung  $\mathbf{D}(\mathbf{r}) = \epsilon_0 \mathbf{E}(\mathbf{r}) + \mathbf{P}(\mathbf{r})$ , mit  $\mathbf{P}(\mathbf{r}) = P(r)\mathbf{e}_r$ , liefert zunächst

$$P(r) = D(r) - \epsilon_0 E(r) = \frac{Q}{4\pi} \frac{K}{r} \quad (a < r < b).$$

Mit der angegebenen Divergenzformel finden wir dann

$$\begin{aligned} \rho_{\text{pol}}(\mathbf{r}) &\equiv -\nabla \cdot \mathbf{P}(\mathbf{r}) \\ &= -\frac{1}{r^2} \frac{\partial}{\partial r} (r^2 P(r)) = -\frac{Q}{4\pi} \frac{K}{r^2} \quad (a < r < b). \end{aligned}$$

- (d) Von der positiven Ladung  $Q > 0$  auf der Schale  $r = a$  wird die negative Komponente des polarisierbaren Mediums angezogen; die positive Komponente wird abgestoßen. Daher entsteht bei  $r = a$  eine negative Überschussladung  $\rho_{\text{pol,fl}} < 0$ , bei  $r = b$  eine positive Überschussladung  $\rho_{\text{pol,fl}} > 0$ .

<sup>1</sup>In Gl. (8) ist  $\rho(\mathbf{r})$  die Dichte der "freien" Ladungen. Dazu zählt etwa die auf eine Schale gebrachte Ladung  $Q$ , also auch  $Q_{\Omega}$ , nicht aber die ("gebundene") Polarisationsladung  $\rho_{\text{pol}}(\mathbf{r})$  der Teile (c) und (d).

### T.67 Polarisierung (F2020.T.1)

- (a) Temperatur  $T$  und elektrische Feldstärke  $E$  sind intensive Größen, während Energie  $U$  und Entropie  $S$  extensiv sind. Mit dem gegebenen Differential  $dU = TdS + EdP$  ist damit auch die Polarisierung  $P$  extensiv<sup>2</sup>.
- (b)  $G(T, E)$  soll die Legendre-Transformierte der Funktion  $U(S, P)$  sein,

$$G = U - TS - EP \quad \Rightarrow \quad dG = dU - (TdS + SdT) - (EdP + PdE) \\ = -SdT - PdE.$$

(Beim Vergleich mit einem Gas entsprechen einander  $E$  und  $-p$ , bzw.  $P$  und  $V$ .) Insbesondere hat  $G$  also die partiellen Ableitungen

$$\left(\frac{\partial G}{\partial T}\right)_E = -S, \quad \left(\frac{\partial G}{\partial E}\right)_T = -P.$$

- (c) Dies ist eine Maxwell-Relation:

$$\left(\frac{\partial S}{\partial E}\right)_T = -\left(\frac{\partial}{\partial E}\left(\frac{\partial G}{\partial T}\right)_E\right)_T = -\left(\frac{\partial}{\partial T}\left(\frac{\partial G}{\partial E}\right)_T\right)_E = \left(\frac{\partial P}{\partial T}\right)_E. \quad (9)$$

- (d) Zunächst gilt

$$C_E(T, E) = \frac{\Delta Q}{\Delta T}\Big|_E = \frac{T\Delta S}{\Delta T}\Big|_E = T\left(\frac{\partial S}{\partial T}\right)_E. \quad (10)$$

Die Identität  $\left(\frac{\partial x}{\partial y}\right)_z \left(\frac{\partial y}{\partial z}\right)_x \left(\frac{\partial z}{\partial x}\right)_y = -1$  liefert für die gesuchte Größe

$$\left(\frac{\partial T}{\partial E}\right)_S = -\frac{1}{\left(\frac{\partial E}{\partial S}\right)_T \left(\frac{\partial S}{\partial T}\right)_E} \equiv -\frac{\left(\frac{\partial S}{\partial E}\right)_T}{\left(\frac{\partial S}{\partial T}\right)_E} = -\frac{T\left(\frac{\partial P}{\partial T}\right)_E}{C_E(T, E)},$$

wobei wir zuletzt Gl. (9) für  $\left(\frac{\partial S}{\partial E}\right)_T$  und Gl. (10) für  $\left(\frac{\partial S}{\partial T}\right)_E$  eingesetzt haben.

---

<sup>2</sup>Hier ist  $P$  also nicht (wie üblich) das Dipolmoment einer Probe pro Volumen (eine Intensitätsgröße), sondern das gesamte Dipolmoment der Probe.

**Q.67 Bewegung im harmonischen Potential (F2020.Q.1)**

- (a) Wir wenden auf  $\psi_0(x)$  den Oszillator-Hamiltonian  $\hat{H} = -\frac{\hbar^2}{2m} \frac{d^2}{dx^2} + \frac{m\omega^2}{2} x^2$  an,

$$\hat{H}\psi_0(x) = \left[ \left( -\frac{\hbar^2}{2mx_0^4} + \frac{m\omega^2}{2} \right) x^2 + \frac{\hbar^2}{2mx_0^2} \right] \psi_0(x).$$

Soll also  $\psi_0(x)$  ein Eigenzustand sein,  $\hat{H}\psi_0(x) = E_0\psi_0(x)$ , so muß gelten

$$x_0^2 = \frac{\hbar}{m\omega} \quad \Rightarrow \quad E_0 = \frac{\hbar^2}{2mx_0^2} = \frac{\hbar\omega}{2}.$$

- (b) Mit der Substitution  $u = \frac{x}{x_0}$  (also  $dx = x_0 du$ ) gilt

$$\begin{aligned} \int_{-\infty}^{\infty} dx |\psi_0(x)|^2 &= |\mathcal{N}_0|^2 \int_{-\infty}^{\infty} (x_0 du) e^{-u^2} \\ &= |\mathcal{N}_0|^2 x_0 \sqrt{\pi} = 1 \quad \Rightarrow \quad \mathcal{N}_0 = \frac{1}{\sqrt{x_0 \sqrt{\pi}}}. \end{aligned}$$

Da  $\psi_0(x)$  und  $\psi_1(x)$  reelle Funktionen sind (wir wählen  $\mathcal{N}_0, \mathcal{N}_1 \in \mathbb{R}$ ), so gilt ferner für die gegebene Linearkombination  $\psi(x)$  (wir schreiben  $\cos \frac{\alpha}{2} = c$  und  $\sin \frac{\alpha}{2} = s$ )

$$\begin{aligned} \int dx |\psi(x)|^2 &= \int dx \left[ c\psi_0(x) + s e^{-i\phi} \psi_1(x) \right] \left[ c\psi_0(x) + s e^{i\phi} \psi_1(x) \right] \\ &= \int dx \left[ c^2 \psi_0(x)^2 + cs \psi_0(x) \psi_1(x) (e^{i\phi} + e^{-i\phi}) + s^2 \psi_1(x)^2 \right] \\ &= \underbrace{c^2 \int dx \psi_0(x)^2}_1 + 2cs \cos \phi \underbrace{\int dx \psi_0(x) \psi_1(x)}_0 + \underbrace{s^2 \int dx \psi_1(x)^2}_1 = 1, \end{aligned}$$

wobei das mittlere Integral verschwindet, da sein Integrand ungerade ist.

- (c) In der Notation von Teil (b) ergibt sich jetzt

$$\begin{aligned} \langle x \rangle_\psi &= \int dx x |\psi(x)|^2 \\ &= \underbrace{c^2 \int dx x \psi_0(x)^2}_0 + 2cs \cos \phi \int dx x \psi_0(x) \psi_1(x) + \underbrace{s^2 \int dx x \psi_1(x)^2}_0 \\ &= 2cs \cos \phi \mathcal{N}_0 \mathcal{N}_1 \int dx x \frac{x}{x_0} \exp\left(-\frac{x^2}{x_0^2}\right) \\ &= 2cs \cos \phi \mathcal{N}_0 \mathcal{N}_1 \int (x_0 du) (x_0 u) u e^{-u^2} \\ &= \underbrace{2cs}_{\sin \alpha} \cos \phi \underbrace{\mathcal{N}_0 \mathcal{N}_1 x_0^2}_{\sqrt{\frac{2}{\pi}} x_0} \underbrace{\int du u^2 e^{-u^2}}_{\frac{1}{2} \sqrt{\pi}} = \sin \alpha \cos \phi \frac{x_0}{\sqrt{2}}. \end{aligned}$$

Je nach Wahl von  $\alpha, \phi \in [0, 2\pi]$  kann also  $\langle x \rangle_\psi$  maximal den Wert  $\frac{x_0}{\sqrt{2}}$  (und minimal den Wert  $-\frac{x_0}{\sqrt{2}}$ ) annehmen.

(d) **Vorbemerkung:** Für Systeme mit zeitunabhängigem Hamiltonian

$$\hat{H} = -\frac{\hbar^2}{2m} \frac{d^2}{dx^2} + V(x)$$

gilt allgemein: Ist die Wellenfunktion  $\Psi(x, t)$  zur Zeit  $t = 0$  gegeben in der Form,

$$\Psi(x, 0) = \sum_{n=0}^{\infty} c_n \psi_n(x),$$

als Linearkombination der Eigenfunktionen<sup>3</sup>  $\psi_n(x)$  von  $\hat{H}$ , so ist ihre Entwicklung für Zeiten  $t > 0$  gegeben durch

$$\Psi(x, t) = \sum_{n=0}^{\infty} c_n \psi_n(x) e^{-i\omega_n t}.$$

Die verschiedenen Frequenzen  $\omega_n$  sind dabei festgelegt durch die Eigenwerte  $E_n$ ,

$$\omega_n = \frac{E_n}{\hbar}.$$

• Im Fall der Wellenfunktion (3) der Angabe gilt also

$$c_0 = \frac{1}{\sqrt{2}}, \quad c_1 = \frac{i}{\sqrt{2}}, \quad c_n = 0 \quad (n = 2, 3, 4, \dots)$$

(mit  $|c_0|^2 + |c_1|^2 = 1$ ). Mit  $E_n = (\frac{1}{2} + n)\hbar\omega$  gilt weiter  $\omega_0 = \frac{1}{2}\omega$ ,  $\omega_1 = \frac{3}{2}\omega$ , sodaß

$$\begin{aligned} \Psi(x, t) &= \frac{1}{\sqrt{2}} \psi_0(x) e^{-i\omega t/2} + \frac{i}{\sqrt{2}} \psi_1(x) e^{-3i\omega t/2} \\ &= \left[ \frac{1}{\sqrt{2}} \psi_0(x) + \frac{1}{\sqrt{2}} \psi_1(x) e^{i(\frac{\pi}{2} - \omega t)} \right] e^{-i\omega t/2}. \end{aligned}$$

Wegen  $|e^{-i\omega t/2}|^2 = 1$  ergibt sich hiermit der Erwartungswert

$$\begin{aligned} \langle x \rangle_{\Psi(x, t)} &= \int dx x |\Psi(x, t)|^2 \\ &= \int dx x \left| \frac{1}{\sqrt{2}} \psi_0(x) + \frac{1}{\sqrt{2}} \psi_1(x) e^{i(\frac{\pi}{2} - \omega t)} \right|^2. \end{aligned}$$

Dies ist genau das gleiche Integral wie in Teil (c), mit der Wellenfunktion  $\psi(x)$  statt  $\Psi(x, t)$ , sofern wir dort  $\frac{\alpha}{2} = \frac{\pi}{4}$  und  $\phi = \frac{\pi}{2} - \omega t$  setzen,

$$\langle x \rangle_{\Psi(x, t)} = \frac{x_0}{\sqrt{2}} \cos\left(\frac{\pi}{2} - \omega t\right) \equiv \frac{x_0}{\sqrt{2}} \sin(\omega t).$$

<sup>3</sup>Dabei sind die Betragsquadrate  $|c_n|^2$  der Koeffizienten gleich den W'keiten, bei einer Energiemessung im Zustand  $\Psi(x, 0)$  die entsprechenden Eigenwerte  $E_n$  zu beobachten. So gilt also insbesondere

$$\sum_{n=0}^{\infty} |c_n|^2 = 1.$$

### Q.68 Asymmetrischer Kasten (F2020.Q.2)

(a) In beiden Bereichen  $0 < x < a$  und  $x > a$  hat die SGL jeweils die Form

$$-\frac{\hbar^2}{2m} \psi''(x) = \tilde{E} \psi(x), \quad \begin{cases} \tilde{E}_L = E - (-V_0) \equiv \Delta E > 0 & (x < a), \\ \tilde{E}_R = E = -|E| < 0 & (x > a). \end{cases}$$

Damit sind die allgemeinen Lösungen jeweils gegeben durch

$$\psi(x) = \begin{cases} A \sin(kx) + B \cos(kx) & (x < a), \\ C e^{\lambda x} + D e^{-\lambda x} & (x > a), \end{cases}$$

wobei  $k > 0$  und  $\lambda > 0$  festgelegt sind durch

$$\frac{\hbar^2 k^2}{2m} = \Delta E (> 0), \quad \frac{\hbar^2 \lambda^2}{2m} = |E| (> 0).$$

Die Randbedingungen  $\psi(0) = 0$  und  $\lim_{x \rightarrow \infty} \psi(x) = 0$  verlangen  $B = C = 0$ ,

$$\psi(x) = \begin{cases} A \sin(kx) & (x < a), \\ D e^{-\lambda x} & (x > a). \end{cases} \quad (11)$$

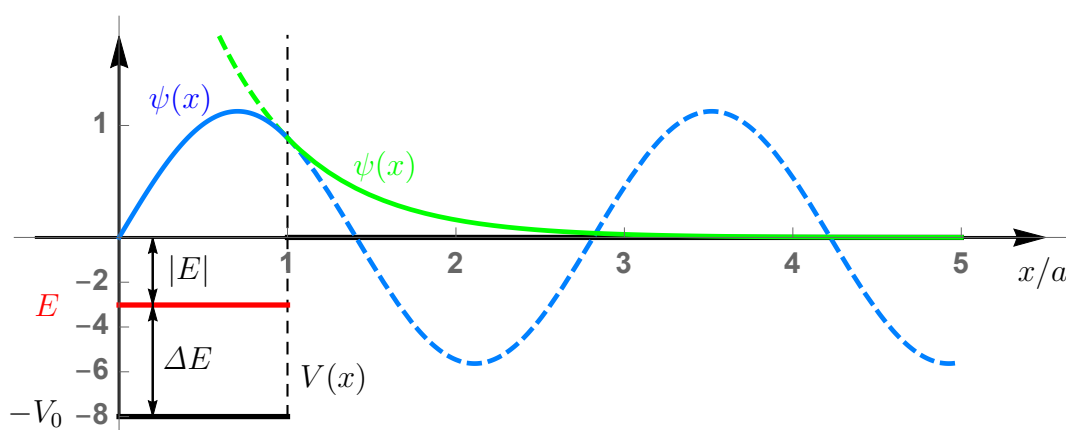


Figure 1: Die Wellenfunktion  $\psi(x)$  von Gl. (11) in Einheiten von  $a^{-1/2}$  (blau bzw. grün) und das Potential  $V(x)$  in Einheiten von  $\frac{\hbar^2}{2ma^2}$  (schwarz), beides für den Fall  $V_0 = 8 \cdot \frac{\hbar^2}{2ma^2}$ . (Man beachte die zwei verschiedenen Skalen auf der Ordinate.) In diesem Fall gibt es genau einen gebundenen Zustand, mit Eigenwert  $E = -3.01761 \frac{\hbar^2}{2ma^2}$  (rot).

(b) Sowohl  $\psi(x)$  als auch seine Ableitung,

$$\psi'(x) = \begin{cases} Ak \cos(kx) & (x < a), \\ -D\lambda e^{-\lambda x} & (x > a), \end{cases}$$

müssen bei  $x = a$  stetig sein,

$$\left. \begin{aligned} A \sin(ka) &= D e^{-\lambda a} \\ Ak \cos(ka) &= -D \lambda e^{-\lambda a} \end{aligned} \right\} \Rightarrow \tan(ka) = -\frac{ka}{\lambda a}. \quad (12)$$

Mit  $ka = \frac{\sqrt{\Delta E}}{\hbar/\sqrt{2ma^2}}$  und  $\lambda a = \frac{\sqrt{|E|}}{\hbar/\sqrt{2ma^2}}$  wird daraus die angegebene Gleichung,

$$\tan\left(\frac{\sqrt{2m \Delta E}}{\hbar} \cdot a\right) = -\frac{\sqrt{\Delta E}}{\sqrt{|E|}}.$$

**Bem.:** Um (zu gegebenem  $V_0$  und  $a$ ) den Wert  $|E| \equiv V_0 - \Delta E$  zu berechnen, beachten wir  $(\lambda a)^2 = \frac{2ma^2}{\hbar^2} V_0 - (ka)^2$  und lösen auf numerischem Wege eine Gleichung für  $ka$ ,

$$\tan(ka) = -\frac{ka}{\sqrt{\frac{2ma^2}{\hbar^2} V_0 - (ka)^2}}. \quad (13)$$

Dies ist jedoch in der vorliegenden Aufgabe **nicht verlangt**.

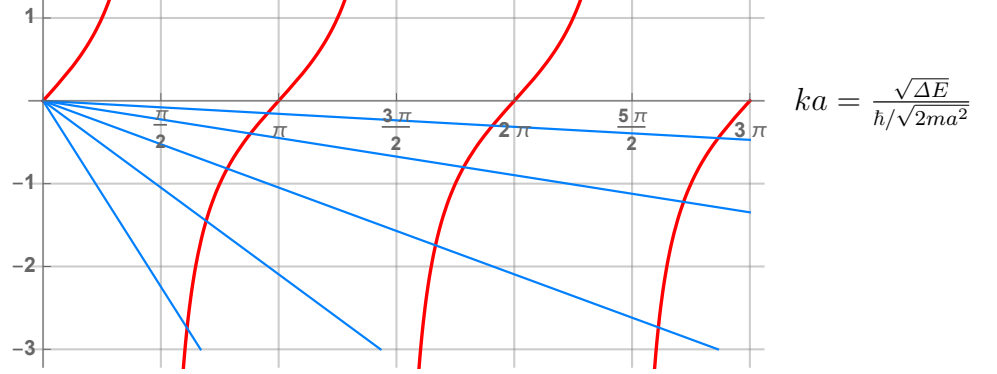


Figure 2: Illustration der Anschlußbedingung Gl. (12),  $\tan(ka) = -\frac{ka}{\lambda a}$ . Als Funktionen der dimensionslosen Variable  $ka \sim \sqrt{\Delta E}$  sind dargestellt:  
**Rot:** Die Linke Seite,  $\tan(ka)$ .  
**Blau:** Die Rechte Seite,  $-\frac{ka}{\lambda a}$ , für verschiedene Werte von  $\lambda a \sim \sqrt{|E|}$ .

- (c) Die kleinste Lösung  $ka = \frac{\sqrt{\Delta E}}{\hbar/\sqrt{2ma^2}} > 0$  von Gl. (12), (Schnittpunkt der roten Kurve in Fig. 2 mit einer der blauen Geraden) liegt offenbar im Intervall<sup>4</sup>  $\frac{\pi}{2} < ka < \pi$ ,

$$\frac{\hbar^2 \pi^2}{8ma^2} < \Delta E < \frac{\hbar^2 \pi^2}{2ma^2}. \quad (14)$$

1. Mit  $\sqrt{|E|} \rightarrow 0$  werden die blauen Geraden immer steiler, und ihr Schnittpunkt mit der roten Tangenskurve wandert nach links gegen den Grenzwert  $ka = \frac{\pi}{2}$ . Dies ergibt den minimal möglichen Wert von  $\Delta E$ ,

$$\Delta E_{\min} = \frac{\hbar^2 \pi^2}{8ma^2}.$$

Wegen  $|E| \rightarrow 0$  muß dies dann zugleich der entsprechende Wert von  $V_0 \equiv \Delta E + |E|$  sein. (Dies ist der minimale Wert von  $V_0$  mit einem gebundenen Zustand !)

2. Im Limes  $V_0 \rightarrow \infty$  gilt dagegen  $|E| \rightarrow \infty$ . Mit  $\sqrt{|E|} \rightarrow \infty$  werden die blauen Geraden sehr flach, und ihr Schnittpunkt mit der roten Kurve wandert nach rechts gegen  $ka = \pi$ . Dies ergibt den maximal möglichen Wert von  $\Delta E$  (vgl. Teil d),

$$\Delta E_{\max} = \frac{\hbar^2 \pi^2}{2ma^2} \equiv \mathcal{E}_1.$$

- (d) Im Limes  $V_0 \rightarrow \infty$  ergibt sich der unendlich tiefe 1D Potentialkasten im Intervall  $x \in [0, a]$ , mit den bekannten Eigenwerten (Energienullpunkt  $\mathcal{E} = 0$  bei  $E = -V_0$ )

$$\begin{aligned} \mathcal{E}_n &= \frac{\hbar^2}{2m} \left( n \cdot \frac{\pi}{a} \right)^2 \\ &= \frac{\hbar^2 \pi^2}{2ma^2} n^2 \quad (n = 1, 2, 3, \dots). \end{aligned}$$

<sup>4</sup>Um bei  $x = a$  Stetigkeit von  $\psi(x)$  und  $\psi'(x)$  zu ermöglichen (Fig. 1), muß der Sinus in Gl. (11) offenbar sein erstes Maximum im Intervall  $x \in [0, a]$  annehmen, da  $e^{-\lambda x}$  für  $\lambda > 0$  monoton fallend ist. Folglich hat der Sinus bei  $x = a$  eine Phase  $ka \in [\frac{\pi}{2}, \pi]$ .